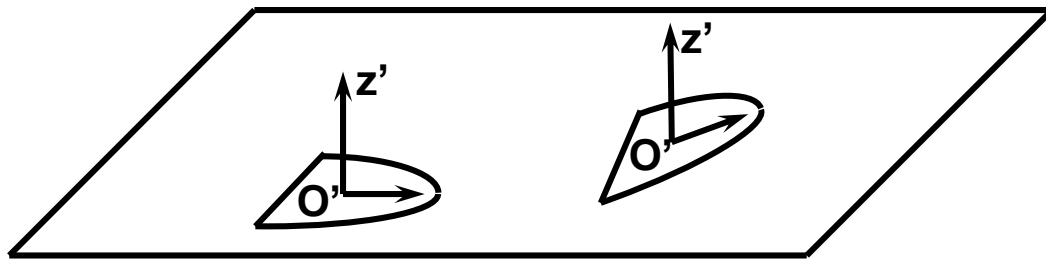


5.7 刚体的平面平行运动

二维. 如曲柄连杆运动, 平底刚体在平面上的滑动.....

- (1) 刚体做平面平行运动时, 刚体上所有质点的运动都平行于某平面。通常我们以包含质心的剖面来代表刚体。
- (2) 刚体的平面平行运动→(分解)随基点 O' 的平动(平动参考系) + 绕过 O' 垂直轴的转动



平面运动性质: $\Delta\phi$, $\vec{\omega}$, $\vec{\alpha}$ 与基点无关

证明: 两个基点 O_1' 和 O_2' 。两点联线作为计算角位移的基线



由图可知: $\Delta\phi_1 = \Delta\phi_2$ ——转动方向相同; 大小相等

由此可知: 刚体 $\vec{\omega}$, $\vec{\alpha}$ 与基点的选择无关

(3)刚体平面平行运动的分解

随刚体上某一基点的**平动**和绕该基点的**转动**的组合

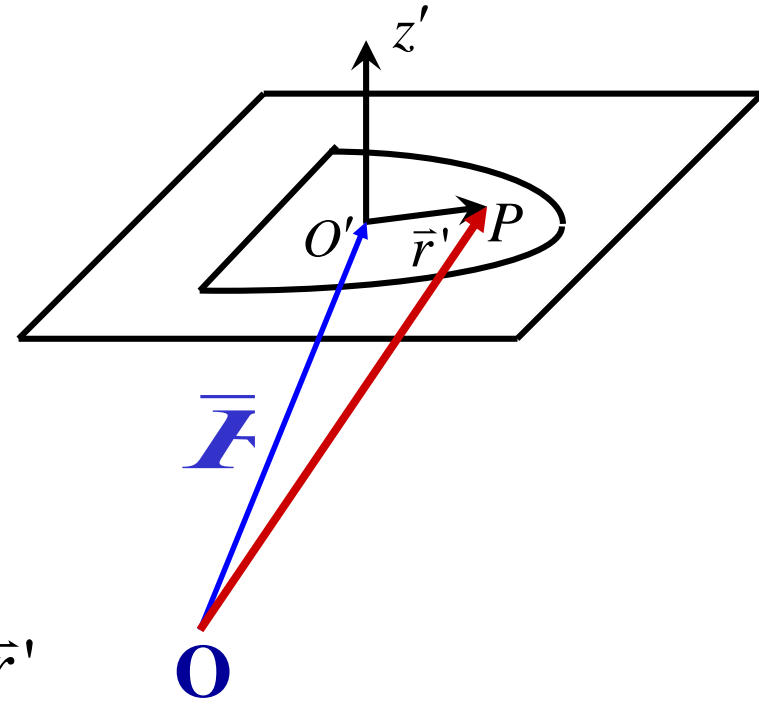
以基点**O'**为原点建平动坐标系

则对任意点**P**有：

$$\vec{r} = \vec{R} + \vec{r}'$$

$$\vec{v} = \vec{v}_{O'} + \vec{v}' = \vec{v}_{O'} + \vec{\omega} \times \vec{r}'$$

$$\vec{a} = \vec{a}_{O'} + \vec{a}' = \vec{a}_{O'} + \vec{\omega} \times \vec{v}' + \vec{\alpha} \times \vec{r}'$$



纯滚动、瞬心

在平面平行运动中, 有一种重要的运动形式: 纯滚动

(1) 纯滚动

$$\vec{v} = \vec{v}_O + \vec{v}' = \vec{v}_O + \vec{\omega} \times \vec{r}'$$

接触点Q相对支撑面无滑动, $\mathbf{v}_Q=0$

以Q为基点, 则此刻刚体运动相当于单纯转动

纯滚动

$$\vec{v} = \vec{\omega} \times \vec{r}'$$

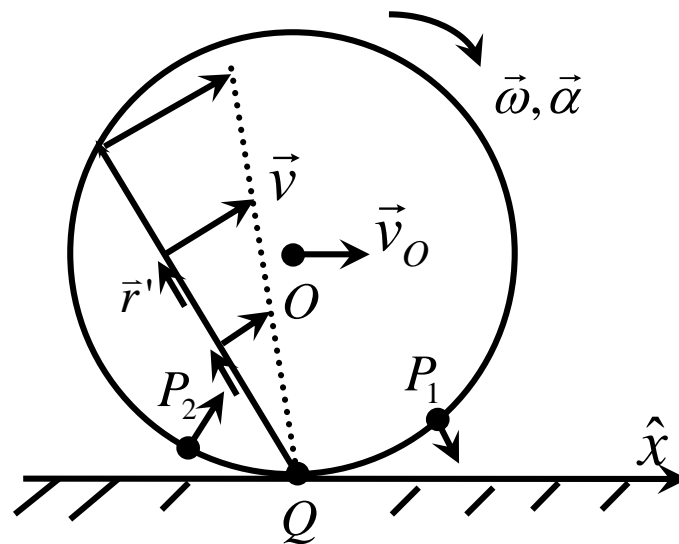
(2) 瞬心

Q称为瞬心 (瞬时转动中心)

瞬时轴过Q, 与转动面垂直

$$\vec{a}_Q \neq 0$$

∴它是瞬时轴, 而非定轴



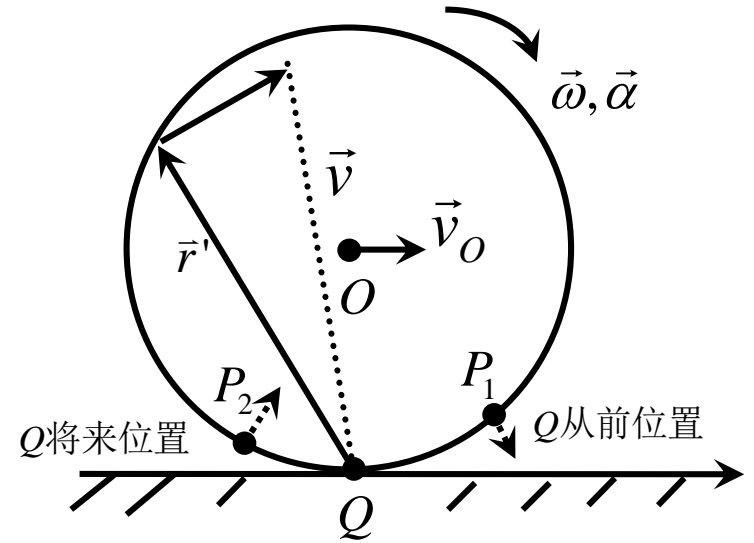
(3) 纯滚动特点

半径为 r 的圆周在平面上纯滚动, 则 $a_o = \alpha r$ (圆心 O)。

证: $\vec{v}_o = \omega r \hat{x}$, r 和 \hat{x} 不变,
 $\therefore \vec{a}_o = d\vec{v}_o / dt = \alpha r \hat{x}$

如何确定瞬心 Q 的加速度?

可以证明: $\vec{a}_Q \perp$ 支撑平面。



$$\vec{v}' = \vec{\omega} \times \vec{r}'$$

$$\vec{a} = \vec{a}' + \vec{a}_0, = \vec{\omega} \times \vec{v}' + \vec{a} \times \vec{r}' + \vec{a}_0,$$

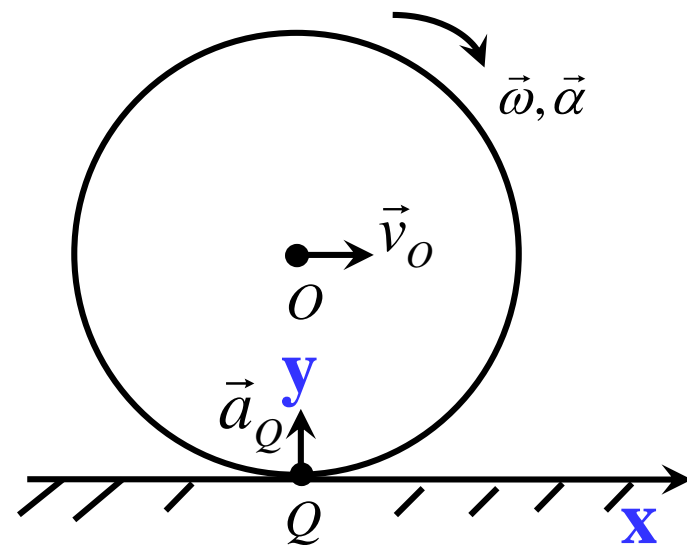
以O为平动参考系, 则 $\vec{a}_Q = \vec{a}' + \vec{a}_O$

$$\vec{a}' = -\alpha r \hat{x} + \omega^2 r \hat{y}, \text{ 而 } \vec{a}_O = \alpha r \hat{x}$$

$$\therefore \vec{a}_Q = \omega^2 r \hat{y}$$

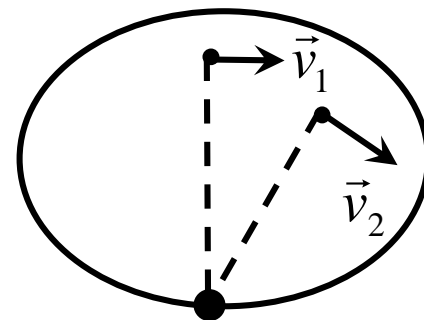
纯滚动: **静摩擦力**

\therefore 摩擦力的合功=0



一般刚体平面平行运动都有瞬心

如图两速度垂线交点即为瞬心

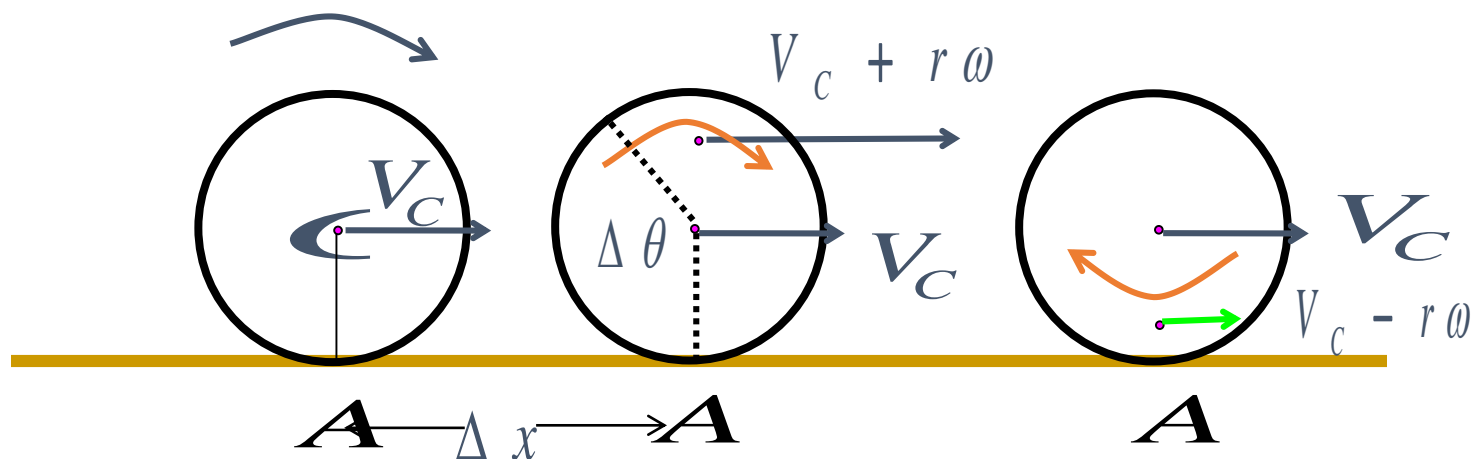


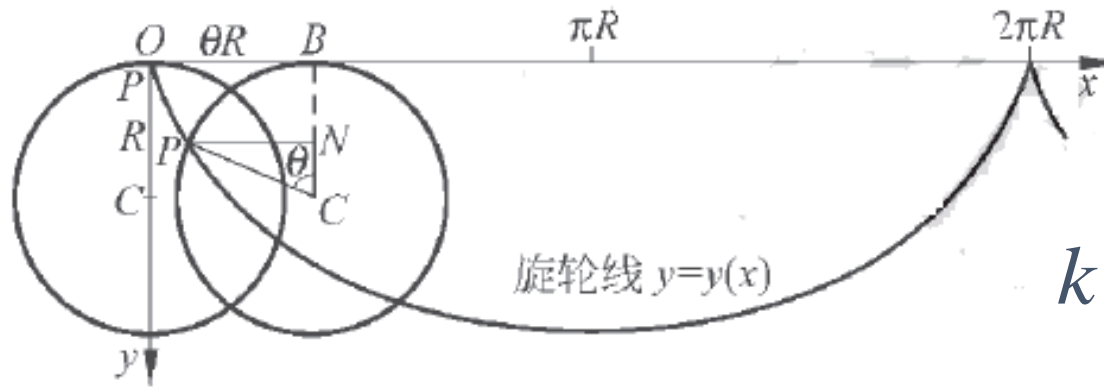
例5.18 有一半径为 r_0 的车轮，在地面上沿直线作无滑动的滚动，若已知车轮中心 C 点的速度为 V_C ，求在车轮上垂直于地面的直径上各点的速度。

解：无滑动的滚动称为纯滚动，车轮与地面接触点是个瞬时不动点 A 。

$$\Delta x = r_0 \cdot \Delta \theta \quad \frac{\Delta x}{\Delta t} = r_0 \frac{\Delta \theta}{\Delta t} \quad \therefore V_C = r_0 \omega$$

$$\vec{v} = \vec{v}_C + \vec{v}' = \vec{v}_C + \vec{\omega} \times \vec{r}' \quad \omega = \frac{v_C}{r_0}$$





$$k = \frac{dy}{dx} = \frac{\frac{dy}{d\theta}}{\frac{dx}{d\theta}}$$

$$x = R(\theta - \sin \theta)$$

$$y = R(1 - \cos \theta)$$

$$= \cot \frac{\theta}{2}$$

刚体作平面平行运动时有三个自由度，需要三个独立的动力学方程。刚体平面平行运动可分解为以质心为代表的平面运动，和绕通过质心垂直于质心运动平面的轴的转动两部分组成。前者为平动，后者为质心系中刚体的定轴转动。描述质心的平面运动，质心定理提供两个独立的动力学方程。描述质心系中刚体的定轴转动既可以采用质心系转动定理，也可以用动能定理。因此，可以有多种方法或途径去分析刚体的平面平行运动。

质心定理的分量方程为
$$\sum F_x = m \frac{dv_{cx}}{dt}, \quad \sum F_y = m \frac{dv_{cy}}{dt}.$$

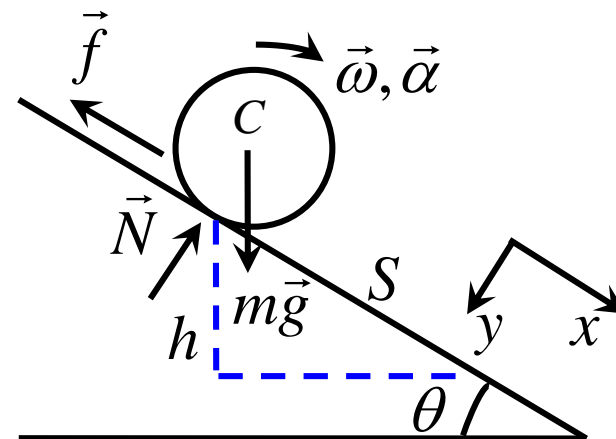
式中 $\sum F_x$ 和 $\sum F_y$ 分别为合外力沿 x 轴和 y 轴的分量。 v_{cx} 和 v_{cy} 分别为质心速度的 x 分量和 y 分量。 m 为刚体质量。

在质心系中，质点组角动量定理与惯性系中的形式相同，因此，刚体绕通过质心的转轴的转动定理也与惯性系中的形式相同。

例5.19 均匀圆球(m, r)沿斜面从静止开始纯滚下降高度 h .
求: v_C 的大小

解: (1) **方法一** 纯滚动 $a_C = r\alpha$

X方向: $mg \sin \theta - f = ma_C$



对过质心z'轴 $fr = J_C \alpha = \left(\frac{2}{5} m r^2 \right) \alpha = \frac{2}{5} m r a_C$

得: $a_C = 5g \sin \theta / 7, \quad f = 2mg \sin \theta / 7$

$v_C = (2a_C S)^{1/2} = (10gh/7)^{1/2}, \quad (S = h/\sin \theta)$

要保证无滑滚动, 静摩擦力 f 不能大于最大静摩擦力 μN , 即

$$f \leq \mu N, \quad \frac{2}{7} mg \sin \theta \leq \mu mg \cos \theta \quad \Rightarrow \quad \mu \geq \frac{2}{7} \tan \theta$$

(2) 方法二

m、地系统E守恒。取下降后位置为势能0点

$$mgh = mv_c^2/2 + J_c\omega^2/2$$

代入 $v_c = \omega r$ 得解

$$v_c = \sqrt{\frac{10gh}{7}}$$

注意应用了科尼希定理

说明:

(1) 本例中 f 为静摩擦力, 具有确定值。

(2) 若 m 平动且无摩擦, 则末态 $v_{\text{平}} = \sqrt{2gh}$

题中 $v_C = \sqrt{10gh/7} < v_{\text{平}} = \sqrt{2gh},$

平动能减少, 增加转动能。

(3) f 不做功, 但使平动动能减少, 转动动能增加

$$0 = P_f = \vec{f} \cdot \vec{v} = \vec{f} \cdot (\vec{v}_C + \vec{\omega} \times \vec{r}') = -fv_C + f\omega r', \quad (\omega r' = v_C)$$

能否对瞬时轴应用转动定律来避免未知力 f 的影响?

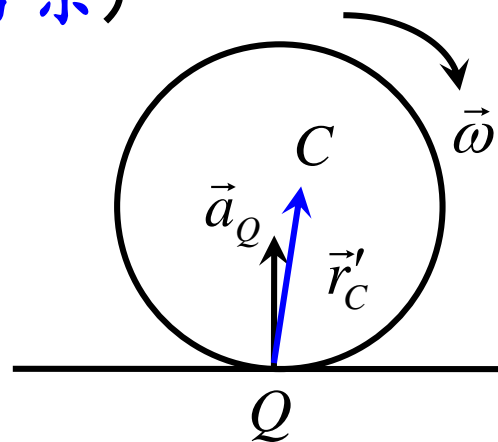
即能否在瞬心参考系应用转动定律?

讨论

在**瞬心参考系** (原点建立在瞬心的平动参考系)
中应用转动定律。

$\vec{a}_Q \neq 0$ 为**非惯性系**，要考虑**惯性力矩**

$$\vec{M}_{\text{惯}} = \sum \vec{r}_i' \times (-m_i \vec{a}_Q) = -M \vec{r}_C' \times \vec{a}_Q \quad (*)$$



定性分析:

m_i 所受惯性力类似重力 (1) $\propto m_i$, (2) 方向相同

\therefore 以Q为参考系时，刚体上各质点所受惯性力对Q的惯性力矩，相当于将惯性力集中在质心对Q之矩。

计算：由(*)式，若 $\vec{r}'_C \parallel \vec{a}_Q$ 则 $\vec{M}_{\text{惯}} = 0$

∴对均匀圆(C与圆心重合)在平面(或曲面)上纯滚动

$$\vec{M}_{\text{惯}} = 0$$

应用转动定律时不受惯性力矩影响。此时可在瞬心参考系中应用转动定律。

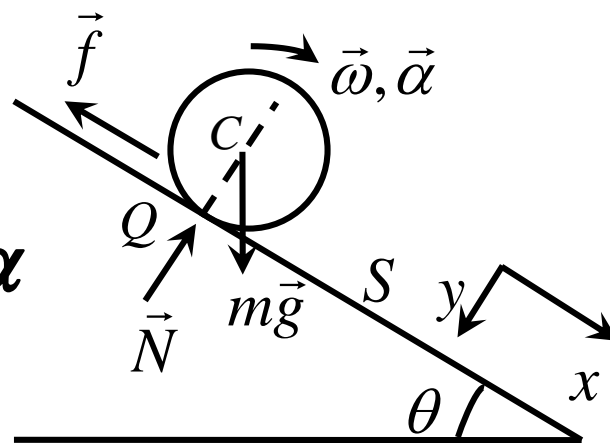
选瞬心系的**优点**：**瞬心Q处未知力在针对过Q点瞬时轴的转动方程中不出现。**

如**例5.19**，选**瞬心系**，Q点为瞬心

对过Q点Z'轴：

$$mgr \sin \theta = J_Q \alpha = \left(2mr^2/5 + mr^2 \right) \alpha$$

$$\text{得： } \alpha = 5g \sin \theta / (7r)$$



例5.20 一质量为 m ，长为 l 的均匀细杆，铅直地放置在光滑的水平面上。当杆自静止倒下时，求地面对杆端的支撑力。

解： 方法一：

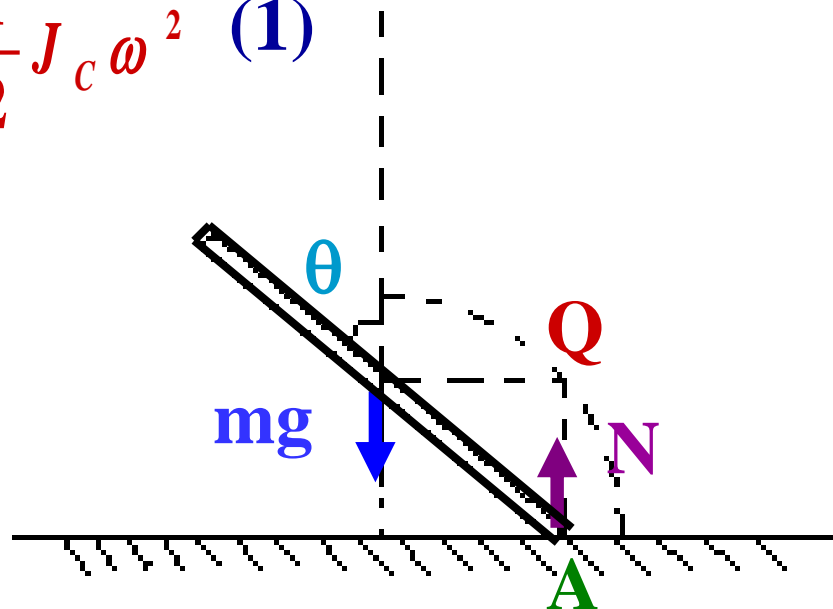
$$mg \frac{l}{2} (1 - \cos \theta) = \frac{1}{2} m v_c^2 + \frac{1}{2} J_c \omega^2 \quad (1)$$

$$J_c = \frac{1}{12} ml^2$$

$$v_c = \frac{l}{2} \omega \sin \theta \quad (2)$$

于是(1)式可以写成

$$mg \frac{l}{2} (1 - \cos \theta) = \frac{1}{2} m \left(1 + \frac{1}{3 \sin^2 \theta} \right) v_c^2$$



$$v_c^2 = \frac{3gl(1 - \cos \theta) \sin^2 \theta}{1 + 3 \sin^2 \theta}$$

对t求导

$$2v_c \frac{dv_c}{dt} = \frac{3gl \sin \theta (\sin^2 \theta + 3 \sin^4 \theta + 2 \cos \theta - 2 \cos^2 \theta)}{(1 + 3 \sin^2 \theta)^2} \omega$$

质心加速度

$$v_c = \frac{l}{2} \omega \sin \theta$$

$$a_c = \frac{dv_c}{dt} = \frac{3gl \sin \theta (\sin^2 \theta + 3 \sin^4 \theta + 2 \cos \theta - 2 \cos^2 \theta)}{(1 + 3 \sin^2 \theta)^2} \frac{\omega}{2v_c}$$

$$= \frac{3g(\sin^2 \theta + 3 \sin^4 \theta + 2 \cos \theta - 2 \cos^2 \theta)}{(1 + 3 \sin^2 \theta)^2}$$

A端受地面的支撑力为

$$N = m(g - a_c) = mg \left[1 - \frac{3(\sin^2 \theta + 3\sin^4 \theta + 2\cos \theta - 2\cos^2 \theta)}{(1 + 3\sin^2 \theta)^2} \right]$$
$$= mg \frac{4 - 6\cos \theta + 3\cos^2 \theta}{(1 + 3\sin^2 \theta)^2}$$

当 $\theta = \pi/2$ 时, $N = mg/4$

方法二： 用 N 代表地面对杆的作用力，按质心运动定理

$$mg - N = ma_C \quad a_C = g - \frac{N}{m} \quad \textcircled{1}$$

按绕质心轴的转动定理

$$\frac{1}{2} Nl \sin \theta = J_C \alpha$$

把杆绕质心的转动惯量

$$J_C = \frac{1}{12} ml^2$$

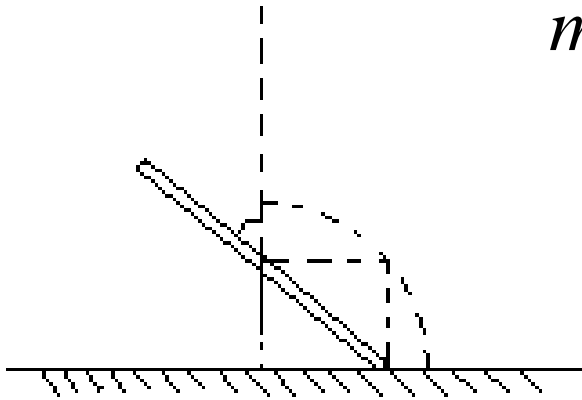
代入，并整理为

$$N \sin \theta = \frac{1}{6} ml \alpha \quad \alpha = \frac{6N \sin \theta}{ml} \quad \textcircled{2}$$

按机械能守恒定律

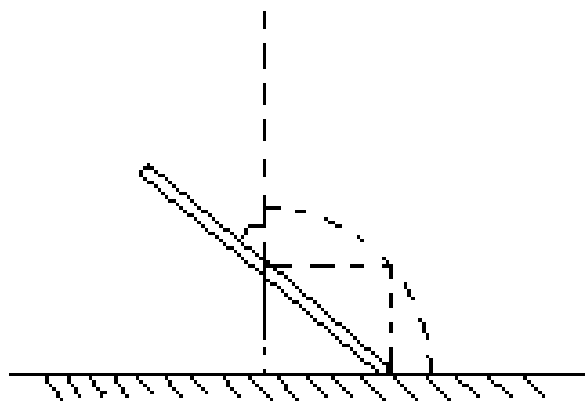
$$\frac{1}{2} lmg = \frac{1}{24} ml^2 \omega^2 + \frac{1}{2} mv_C^2 + \frac{1}{2} lmg \cos \theta$$

$$lg = \frac{1}{12} l^2 \omega^2 + v_C^2 + lg \cos \theta \quad \textcircled{3}$$



以初始时刻杆的顶端为坐标原点，则在图示位置质心坐标为

$$y_c = l - \frac{l}{2} \cos \theta \quad , \quad \text{因此质心的速度和加速度为}$$



$$v_c = \frac{dy_c}{dt} = \frac{1}{2} l \omega \sin \theta \quad (4)$$

$$a_c = \dot{v}_c = \frac{1}{2} l \omega^2 \cos \theta + \frac{1}{2} l \alpha \sin \theta \quad (5)$$

把④式代入③式，可得

$$\omega^2 = \frac{12(1 - \cos \theta)}{(1 + 3 \sin^2 \theta) l} g \quad (6)$$

把①、②、⑥三式代入⑤式，可得地面对杆的作用力：

$$N = \frac{4 - 6 \cos \theta + 3 \cos^2 \theta}{(1 + 3 \sin^2 \theta)^2} mg$$

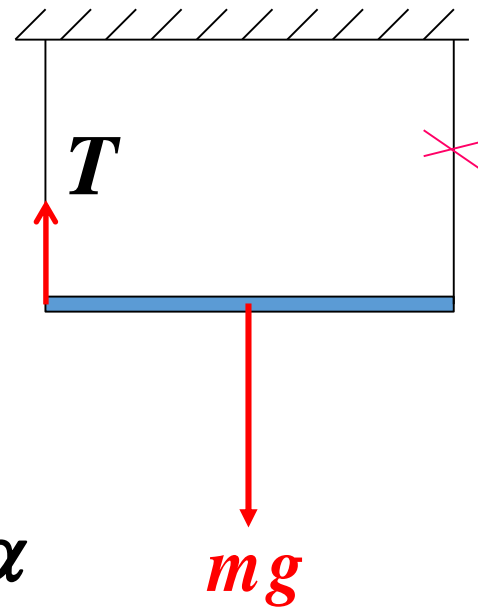
例5.21 将一根质量为 m 的长杆用细绳从两端水平地挂起来，其中一根绳子突然断了，另一根绳子在断的瞬间，张力是多少？

解：受力如图，设杆长为 l ，在绳子断的一刹那，质心运动和转动满足：

$$mg - T = ma_c \quad ; \quad T \frac{l}{2} = \frac{1}{12} ml^2 \alpha$$

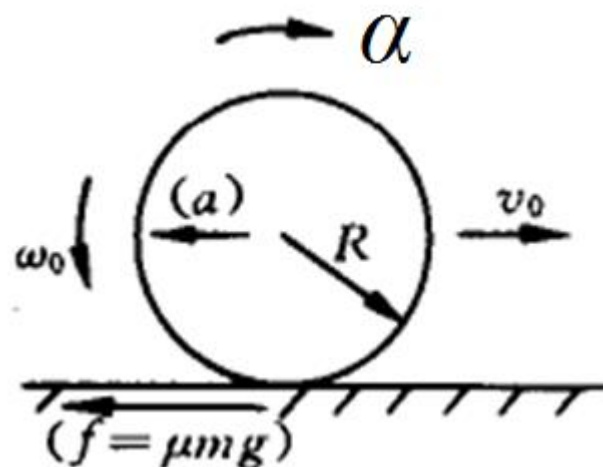
此时，悬绳未断的一端加速度为零，从而质心加速度和角加速度满足：

$$a_c = \alpha \frac{l}{2}$$
$$\therefore T = \frac{1}{4} mg$$



例5.22

在水平地面上用手按动半径为 R 的乒乓球,使其获得向右的初速 v_0 和逆时针方向转动角速度 ω_0 , 如图所示. 乒乓球可处理成匀质薄球壳,球壳与地面间的摩擦因数为常量 μ ,试求乒乓球最后达到的稳定运动状态.



解:

参考图中括号内引入的参量, m 是乒乓球的质量. 初始阶段地面摩擦力朝左,使质心获得左向加速度,球壳获得绕质心轴顺时针方向角加速度. 据质心运动定理和质心轴转动定理,有

$$f = ma, \quad fR = J\alpha, \quad f = \mu mg, \quad J = \frac{2}{3}mR^2,$$

即得

$$a = \mu g, \quad \alpha = 3\mu g/2R.$$

经时间 t , 右行速度 v 和逆时针方向速度 ω 分别为

$$v = v_0 - at = v_0 - \mu g t,$$

$$\omega = \omega_0 - \alpha t = \omega_0 - (3\mu g/2R)t.$$

分三种情况进行讨论.

(1) 经某段时间(记为 t_1), 同时达到 $v=0, \omega=0$, 即

$$v_0 - \mu g t_1 = 0, \quad \omega_0 - (3\mu g/2R)t_1 = 0,$$

这要求 v_0, ω_0 间满足关系:

$$v_0 = \frac{2}{3}\omega_0 R,$$

此后乒乓球处于静止状态.

(2) 经某段时间(仍记为 t_1), 仍有 $v>0$, 但恰有 $\omega=0$, 即

$$v_0 - \mu g t_1 > 0, \quad \omega_0 - (3\mu g/2R)t_1 = 0,$$

这要求 v_0, ω_0 间满足关系:

$$v_0 > \frac{2}{3}\omega_0 R,$$

该阶段的末态为

$$v_1 = v_0 - \frac{2}{3}\omega_0 R, \quad \omega = 0.$$

此后, 摩擦力仍朝左, 平动加速度和转动角加速度与前同. 再经时间 t , 右行速度 v_2 和顺时针方向角速度 ω_2 分别为

$$v_2 = v_1 - at = v_1 - \mu gt, \quad \omega_2 = \alpha t = (3\mu g/2R)t.$$

设 $t=t_2$ 时, 恰有 $v_2 = \omega_2 R$,

摩擦力随即消失, 便将进入稳定的右行纯滚运动的状态. 据

$$v_1 - \mu gt_2 = (3\mu g/2R)t_2 R$$

可得 $t_2 = 2v_1/5\mu g$,

$$v_2 = v_1 - \mu gt_2 = \frac{3}{5}v_1 = \frac{3}{5}\left(v_0 - \frac{2}{3}\omega_0 R\right),$$

$$\omega_2 = v_2/R = \frac{3}{5R}\left(v_0 - \frac{2}{3}\omega_0 R\right).$$

(3) 经某段时间(仍记为 t_1), 恰有 $v=0$, 但仍有 $\omega>0$, 即

$$v_0 - \mu g t_1 = 0, \quad \omega_0 - (3\mu g/2R)t_1 > 0,$$

这要求 v_0, ω_0 间满足关系:
$$v_0 < \frac{2}{3}\omega_0 R,$$

此阶段的末态为
$$v_1 = 0, \quad \omega_1 = \omega_0 - \frac{3v_0}{2R}.$$

此后, 摩擦力仍朝左, 平动加速度和转动角加速度与前同, 这将使乒乓球进入朝左加速平动, 且逆时针方向继续减速转动的运动状态. 经时间 t , 左行速度 v_2 和逆时针方向角速度 ω_2 分别为
$$v_2 = at = \mu g t,$$

$$\omega_2 = \omega_1 - \alpha t = \omega_1 - (3\mu g/2R)t,$$

设 $t=t_2$ 时, 恰有 $v_2 = \omega_2 R$,

摩擦力随即消失, 便将进入稳定的左行纯滚运动状态. 据

$\mu g t_2 = [\omega_1 - (3\mu g/2R)t_2]R$, 可得

$$t_2 = 2\omega_1 R/5\mu g,$$

$$v_2 = \mu g t_2 = \frac{2}{5}\omega_1 R = \frac{2}{5}\left(\omega_0 R - \frac{3}{2}v_0\right),$$

$$\omega_2 = v_2/R = \frac{2}{5R}\left(\omega_0 R - \frac{3}{2}v_0\right).$$

综上所述,乒乓球最后达到的稳定运动状态为:

若 $v_0 = \frac{2}{3}\omega_0 R$, 则乒乓球最后停下;

若 $v_0 > \frac{2}{3}\omega_0 R$, 则乒乓球最后达右行纯滚状态;

若 $v_0 < \frac{2}{3}\omega_0 R$, 则乒乓球最后达左行纯滚状态.

例5.23 半径为 R ，质量为 m 的匀质乒乓球，可处理为厚度可略的球壳。开始时以角速度 ω_0 围绕它的一条水平直径轴旋转，球心无水平方向速度，今将其轻放在水平地面上，乒乓球与地面之间的滑动摩擦处处相同。

(1) 试求乒乓球达到稳定运动状态时，它的转动角速度 ω ；

(2) 计算从开始到最后达到稳定运动状态的全过程中，乒乓球动能的损失量 E' 。

(已知半径为 R ，质量为 m 的匀质球壳相对其直径转轴的转动惯量为 $\frac{2}{3}mR^2$)

解： (1) 方法一

根据上题结论质心速度 $v = \mu g t$

$$\omega = \omega_0 - \frac{3}{2} \frac{\mu g}{R} t$$

乒乓球达到稳定运动状态时 $v = \omega R \Rightarrow \omega = \frac{2}{5} \omega_0$

方法二

$$\begin{cases} -\mu m g R t = J\omega - J\omega_0 \\ \mu m g t = m\omega R \\ J = \frac{2}{3} m R^2 \end{cases} \Rightarrow \omega = \frac{2}{5} \omega_0$$

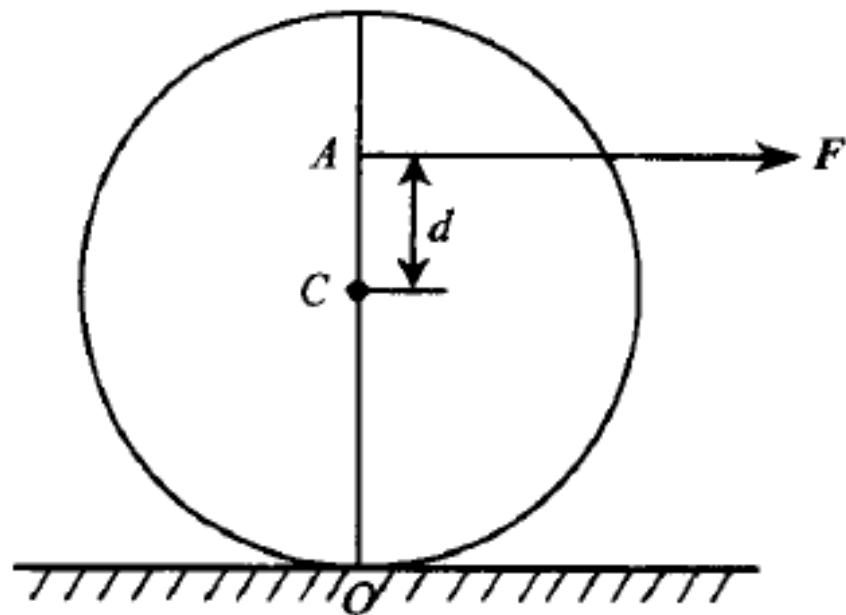
$$(2) \quad E' = \frac{1}{2} J \omega_0^2 - \left(\frac{1}{2} J \omega^2 + \frac{1}{2} m \omega^2 R^2 \right) = \frac{1}{5} m \omega_0^2 R^2$$

关于静摩擦力的方向

教材第4版， p.163， 例5.14

摩擦力 f 应与拉力 F 方向相反。

2. 设小球在力 \mathbf{F} 作用下在平直地面上作纯滚动, \mathbf{F} 不是作用在质心 C 上, 而是作用在 A 上, A 是接触点 O 与质心 C 连



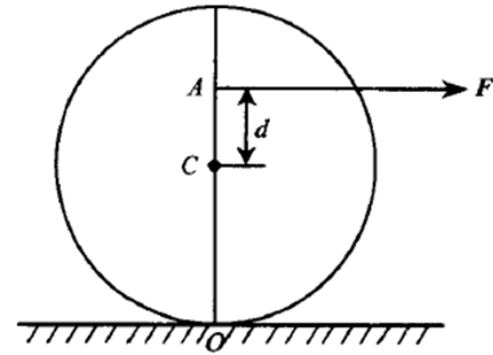
线上的一点, $CA=d$, 如图所示。设小球半径为 r , 质量为 m 。试判断接触点 O 处静摩擦力的方向。

解: 在处理理想刚体(即无形变, 可以不考虑滚动摩擦)的纯滚动问题时, 滚动物与其他物体的接触点处相对速度为零, 在此点若有摩擦力存在, 即为静摩擦力。判断该静摩擦力的方向需要十分小心。这里有一个一般可用的原则: 设想此物体与接触点脱离, 使摩擦不复存在, 此时触点切向加速度的反方向即为静摩擦力的方向。即摩擦力与物体在接触点的运动趋势方向相反。

设 O 点没有摩擦力，则绕质心的转动公式为

$$Fd = J_c \alpha \quad J_c = \frac{2}{5} mr^2$$

质心的运动方程为
$$a_c = \frac{F}{m}$$



$$\vec{a} = \vec{a}' + \vec{a}_0, = \vec{\omega} \times \vec{v}' + \alpha \times \vec{r}' + \vec{a}_0,$$

触点 O 对地面的切向加速度 a 的大小为

$$a = a_c - \alpha r = \frac{F}{m} \left(1 - \frac{5d}{2r} \right)$$

$$\boldsymbol{a} = \boldsymbol{a}_C - \alpha \boldsymbol{r} = \frac{\boldsymbol{F}}{m} \left(1 - \frac{5d}{2r} \right)$$

由此可得以下判断：

(1) 当 $d < \frac{2}{5}r$ 时, $a > 0$, 即 \boldsymbol{a} 与 \boldsymbol{F} 同向, 所以静摩擦力 \boldsymbol{f} 与 \boldsymbol{F} 反向。

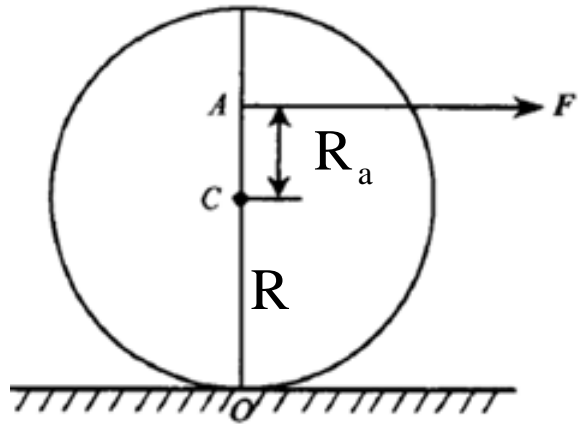
(2) 当 $d > \frac{2}{5}r$ 时, $a < 0$, \boldsymbol{a} 与 \boldsymbol{f} 反向, \boldsymbol{f} 与 \boldsymbol{F} 同向。

(3) 当 $d = \frac{2}{5}r$ 时, $a = 0$, 此时 O 点无运动的趋向, 则 $\boldsymbol{f} = 0$ 。

(4) 特别地, 当外力 $\boldsymbol{F} = 0$ 时, \boldsymbol{a} 恒为零, \boldsymbol{f} 恒为零, 小球将保持匀速纯滚动。

教材第4版p.163, 例5.14

设O点无摩擦力



$$FR_a = J_C \alpha \quad J_C = \frac{1}{2} MR^2$$

$$a_c = \frac{F}{m}$$

$$a_t = a_c - \alpha R = \frac{F}{m} \left(1 - \frac{2R_a}{R}\right)$$

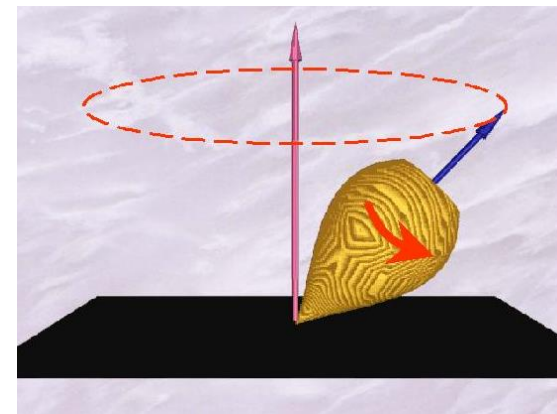
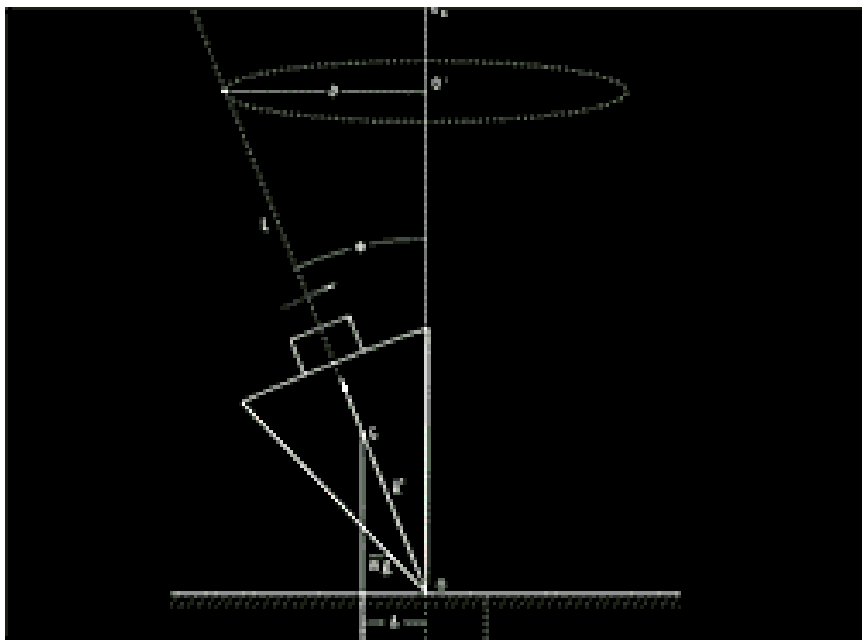
$$\frac{2R_a}{R} = \frac{2 \times 5}{30} = \frac{1}{3} \quad \Rightarrow a_t > 0$$

摩擦力 f 应与拉力 F 方向相反。

5.8 进动

高速旋转的物体，其自转轴绕另一个轴转动的现象。

如玩具陀螺的运动：

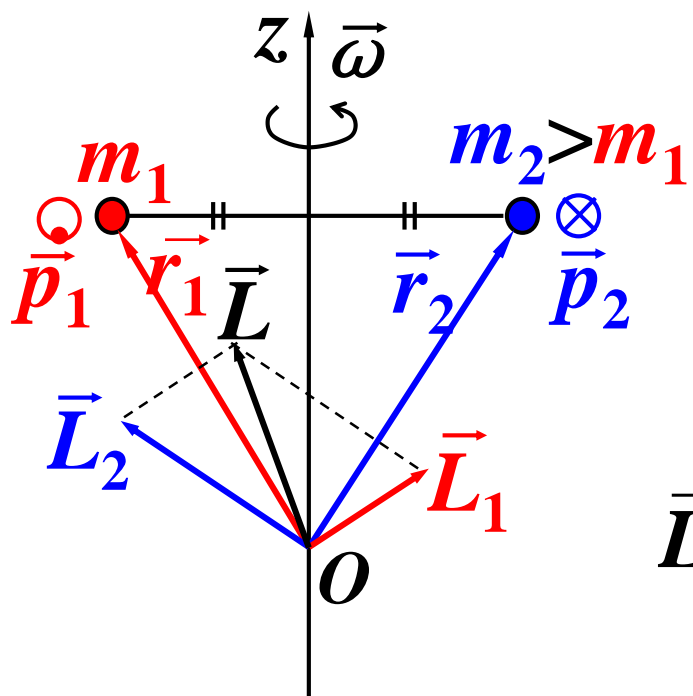


陀螺：绕固定点作高速转动的刚体。

(对称)陀螺：质量均匀分布的轴对称刚体，且以其几何对称轴为自转轴。

陀螺仪：运用陀螺的力学特性制成的陀螺装置。

质量对转轴不对称，则对
轴上 O 点的 \vec{L} 不平行于 $\vec{\omega}$ 。

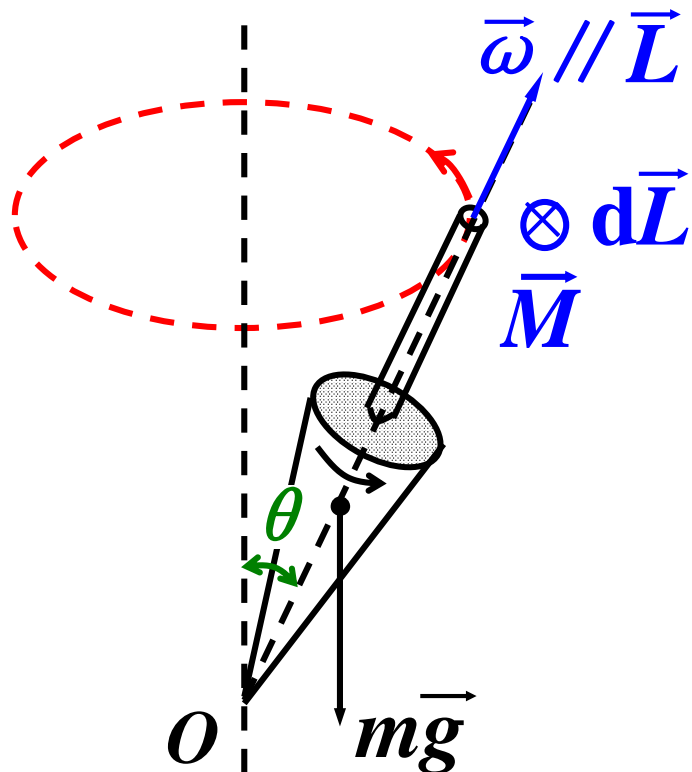


若质量对转轴分布对称，
则： $\vec{L} // \vec{\omega} // \text{轴}$

$$\vec{L} \text{ (对点)} = L_z \vec{k} \text{ (对轴)} = J_z \vec{\omega}$$

下面我们就讨论这种质量对转轴分布对称
的刚体的进动问题。

一、陀螺的进动



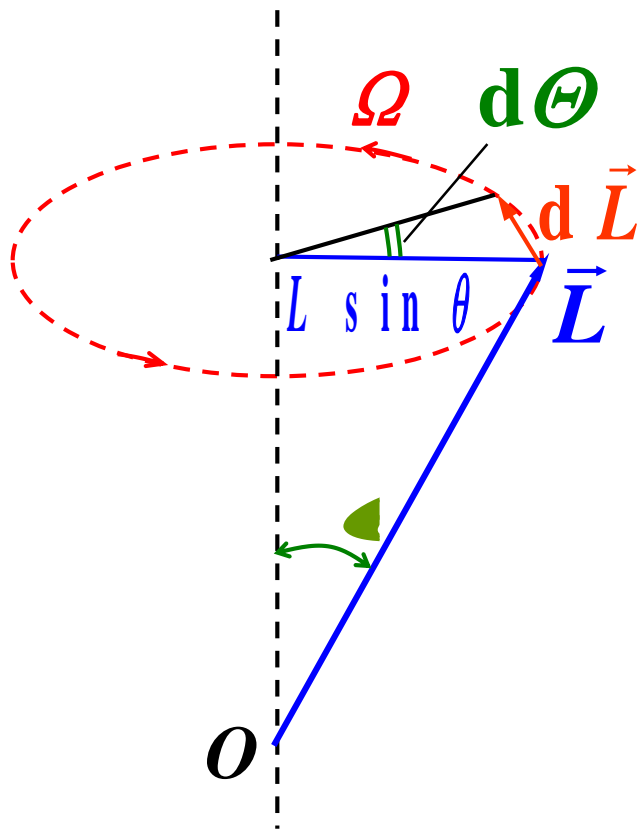
玩具陀螺的旋进：

$$\vec{M} = \frac{d\vec{L}}{dt} \longrightarrow$$

$$d\vec{L} = \vec{M} dt // \vec{M} .$$

$$\vec{M} \perp \vec{L} \longrightarrow d\vec{L} \perp \vec{L}$$

$\longrightarrow \vec{L}$ 只改变方向而不改变大小，
从而产生旋进运动。



进动角速度: $\Omega = \frac{d\Theta}{dt}$

$$|d\vec{L}| = L \sin \theta d\Theta$$

$$M = \frac{|d\vec{L}|}{dt} = \frac{L \sin \theta d\Theta}{dt}$$

$$= L \sin \theta \cdot \Omega$$

$$\Omega = \frac{M}{L \sin \theta} = \frac{mgr_C}{J\omega}$$

$$\propto \frac{1}{\omega}, \omega \uparrow \rightarrow \Omega \downarrow$$

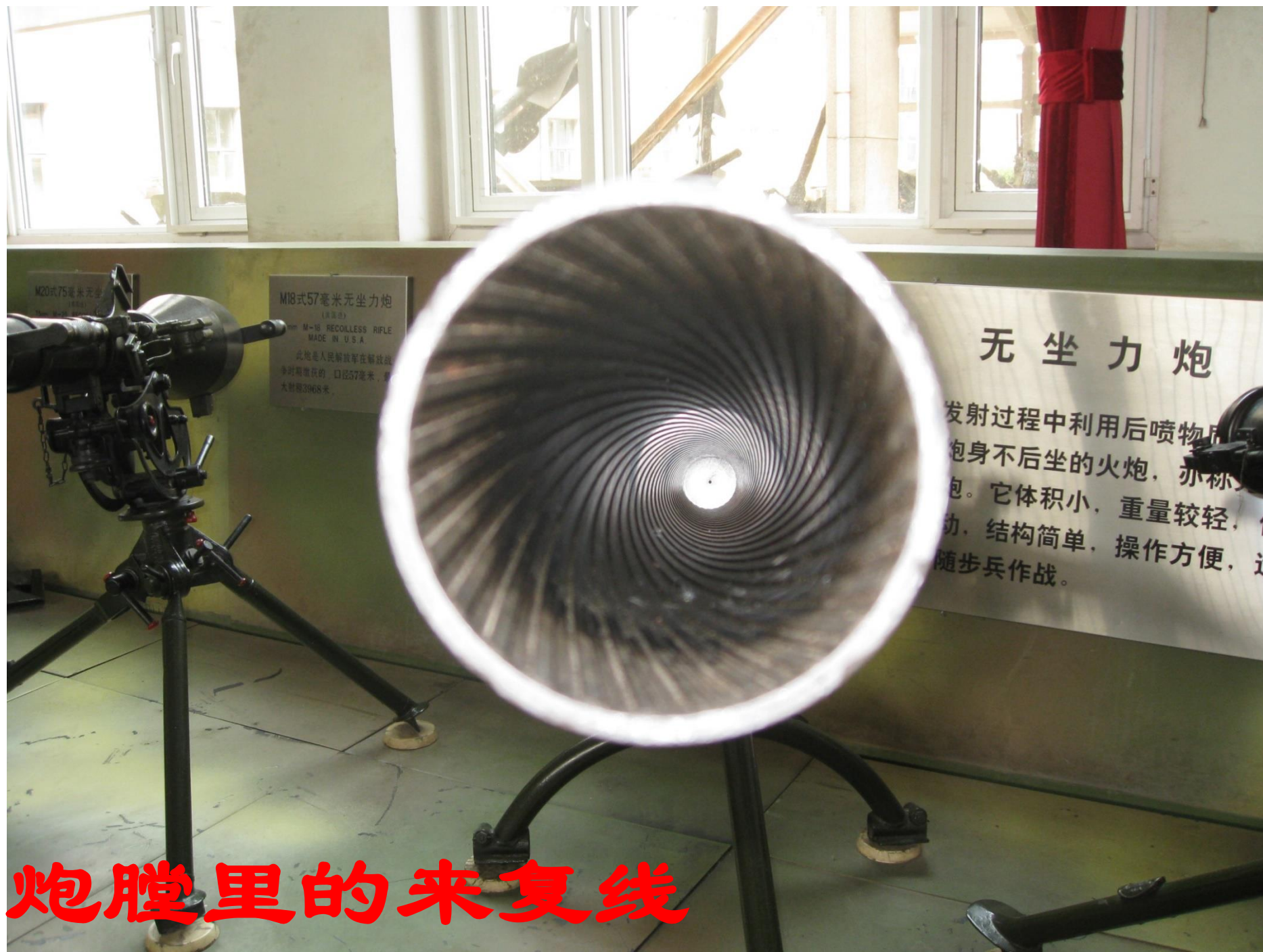
$$\text{当 } \theta = 90^\circ \text{ 时, } \Omega = \frac{M}{J\omega}$$

陀螺的进动角速度 Ω 随着其自转角速度 ω 的增大而减小，与角度 θ 无关。

$$\Omega = \frac{m g r_c}{J \omega}$$

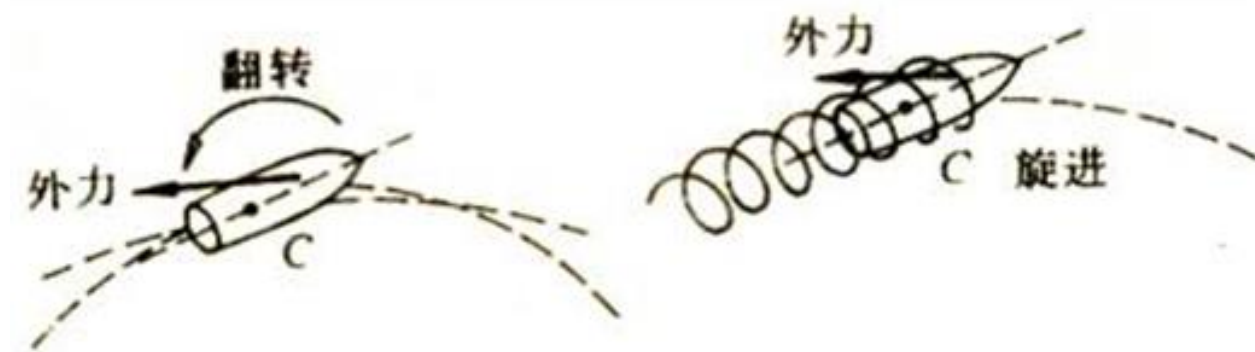
当陀螺的自转角速度 ω 不够大时，则除了自转和进动外，陀螺的对称轴还会在铅垂面内上下摆动，即 θ 角会有大小波动，称为章动。

利用炮膛或枪膛中的来复线，可使炮弹或子弹绕自身的对称轴高速旋转。这样，炮弹或子弹在前进中将绕自己的行进方向进动，不至因受到的空气阻力矩而翻转。

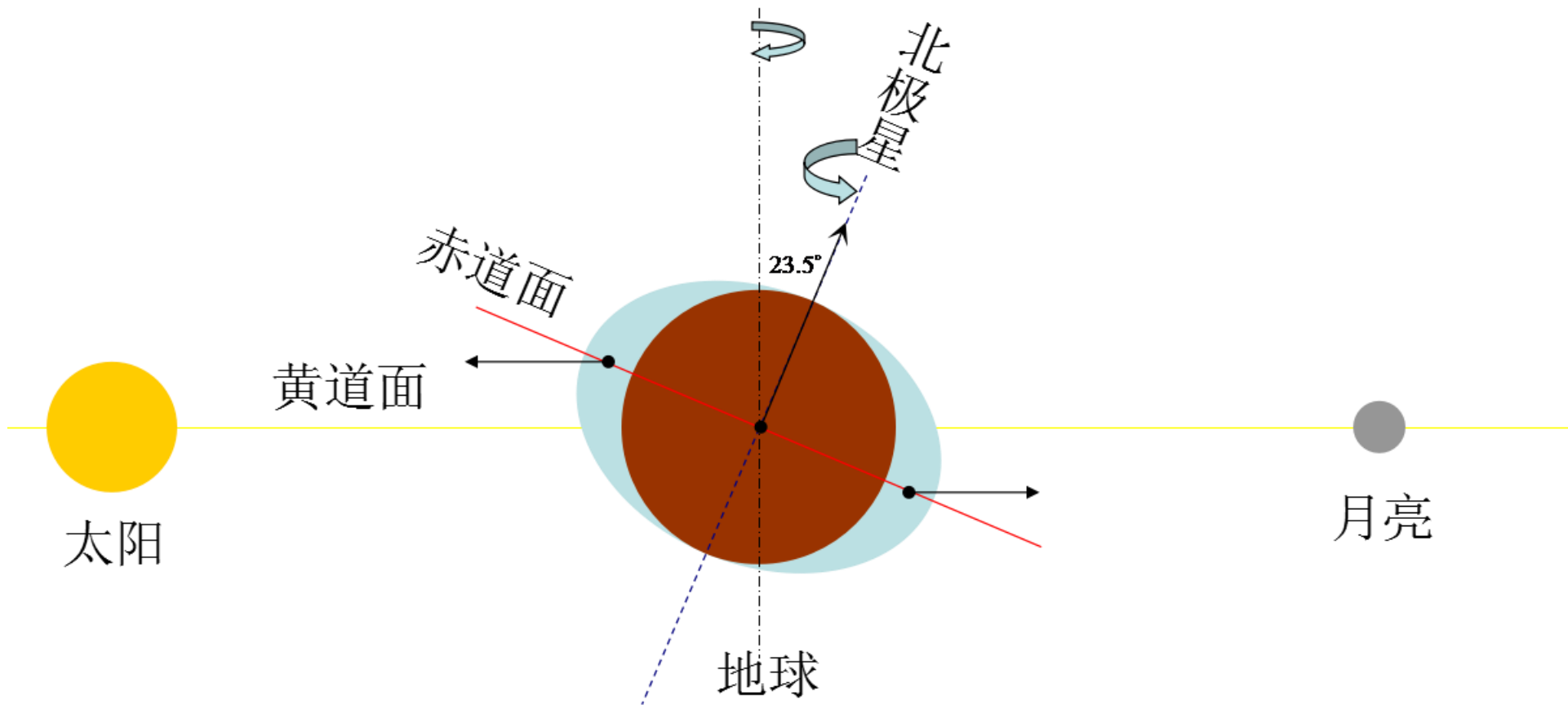


炮膛里的来复线

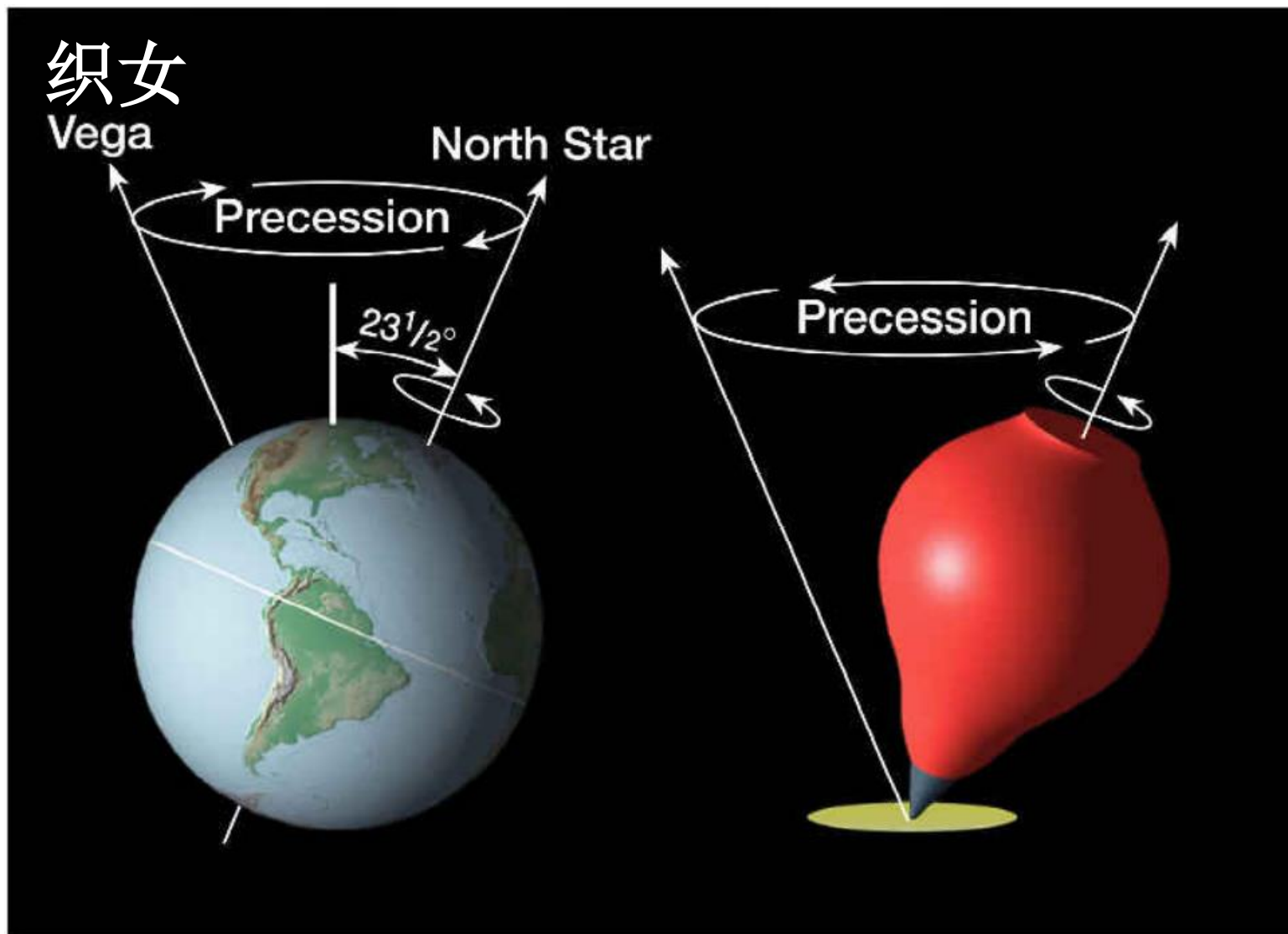
炮弹的运动： 平动+自旋+进动



地球的进动与章动



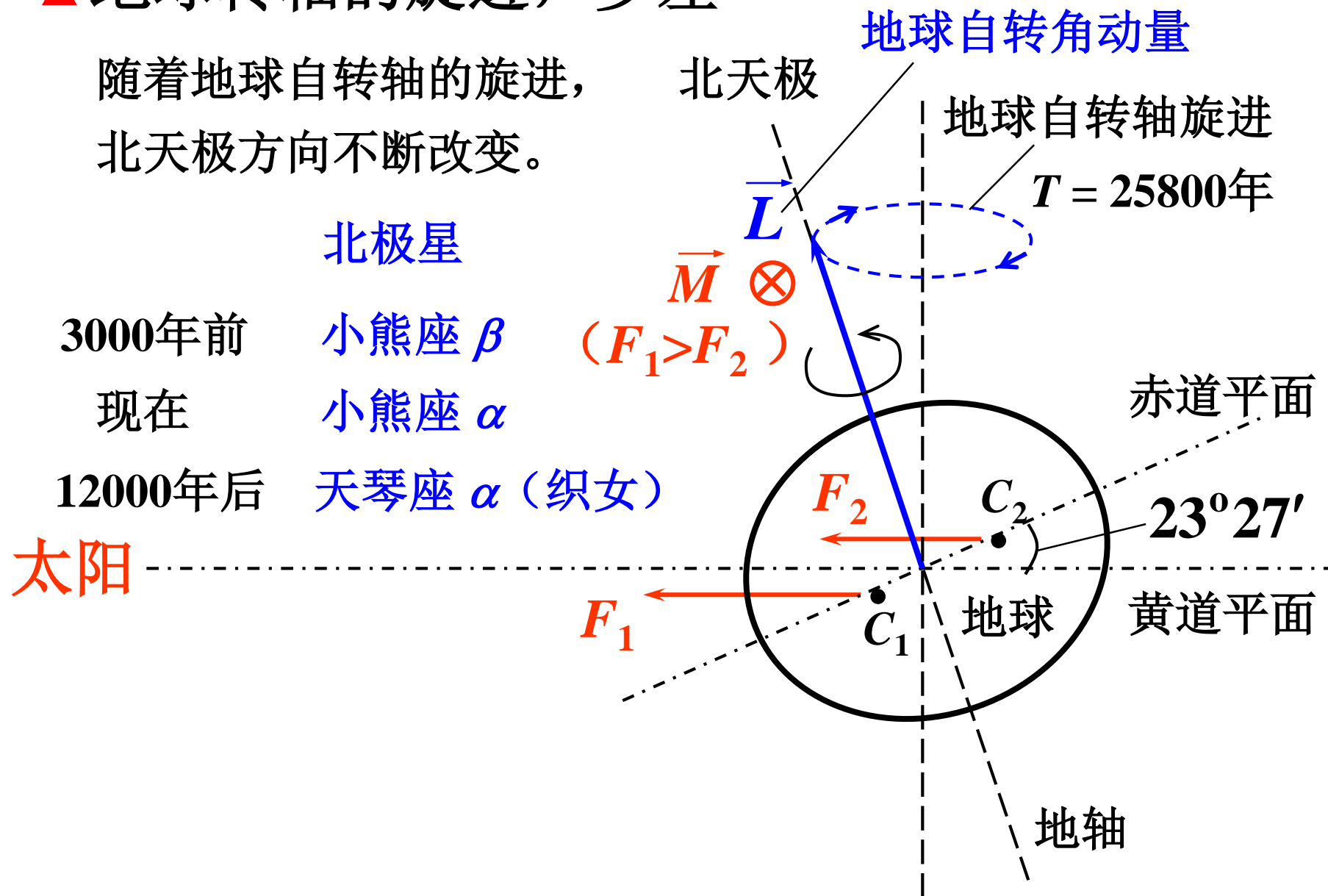
地球不是一个理想的圆球，赤道部分稍有隆起
(潮汐在这里也起了一定作用)

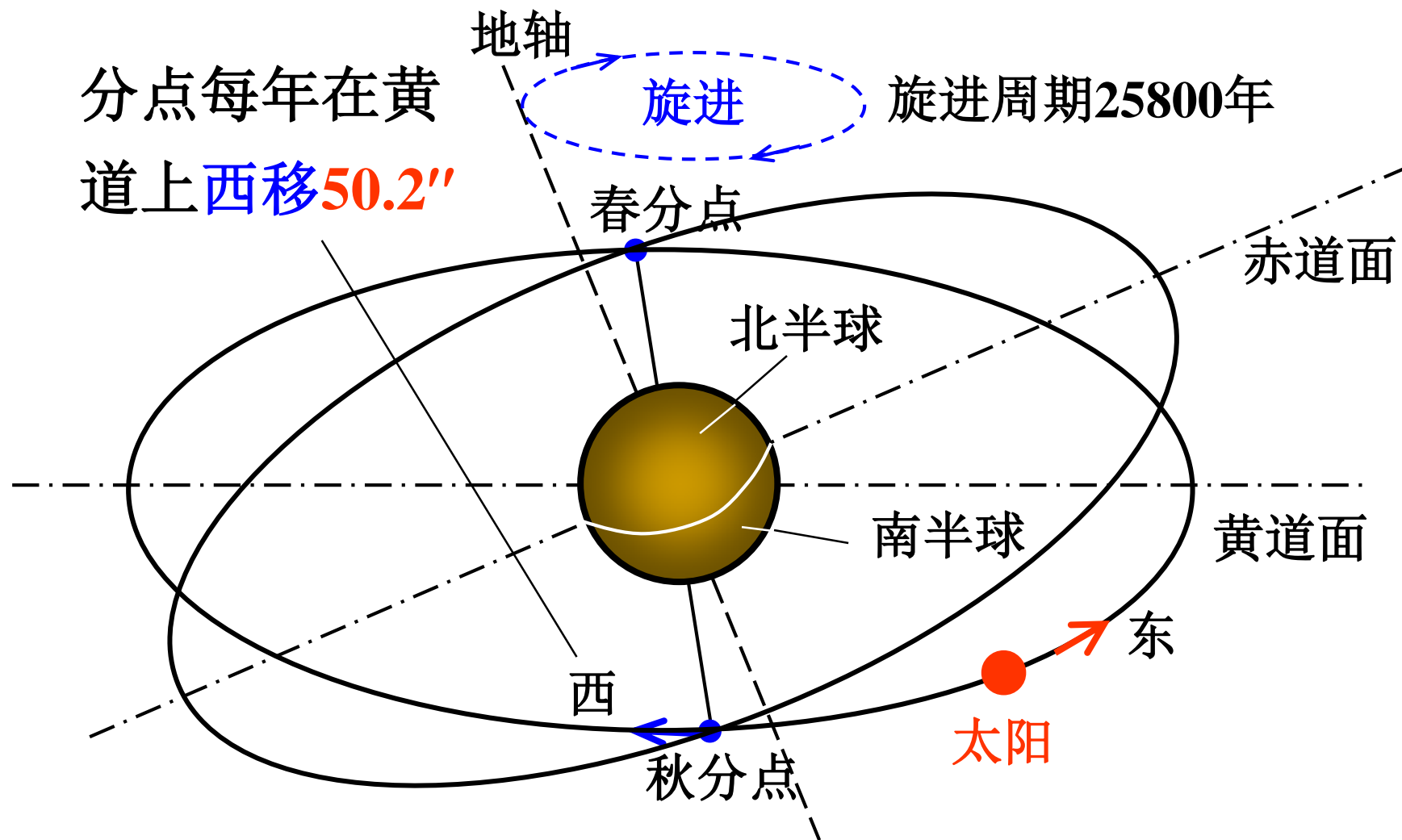


地球进动周期 = 25770年 \approx 26000年

▲ 地球转轴的旋进，岁差

随着地球自转轴的旋进，
北天极方向不断改变。





太阳年（回归年）：太阳由春分→秋分→春分
恒星年（时间长）：地球绕太阳一周的时间

岁差 (precession)

岁差 = 恒星年 - 太阳年 = 20分23秒钟

希腊天文学家喜帕恰斯(Hipparchus)大约在公元前130年报道，二分点的进动每年约36角秒。

我国古代的发现：

▲ 西汉末年的刘歆与后汉的贾逵也发现了二分点的进动。

▲ 晋朝虞喜确定了岁差：

每50年差1度（约72''/年）（精确值为50.2''/年）

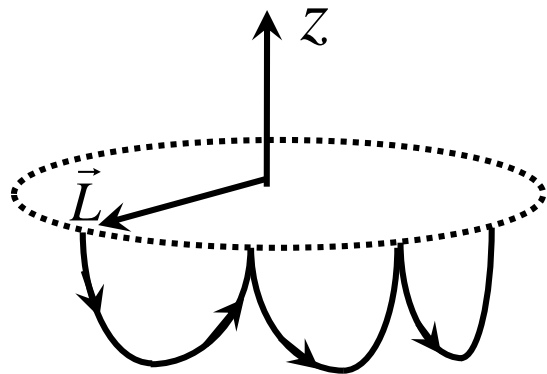
▲ 祖冲之（公元429 — 500）编《大明历》最先将岁差引入历法：391年有144个闰月。

当旋进发生后，总角速度 $\vec{\omega}_{\text{总}} = \vec{\omega} + \vec{\Omega} \neq \vec{\omega}$ 。

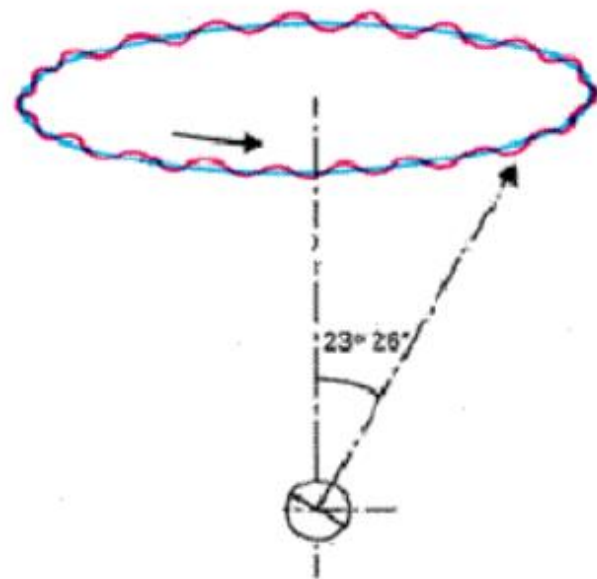
只有刚体高速自转时，才有 $\vec{\omega}_{\text{总}} \doteq \vec{\omega}$ ，

这时也才有 $\vec{L} \doteq J\vec{\omega}$ 和以上 $\vec{\Omega}$ 的表示式。

当考虑到 $\vec{\Omega}$ 对 $\vec{\omega}_{\text{总}}$ 的贡献时，自转轴在旋进中还会出现微小的上下的周期性摆动，这种运动叫章动（**nut**ation），拉丁语中是“点头”的意思。



地轴除进动外，也有章动。地轴的章动是英国天文学家布拉得雷（J. Bradley）于1748年分析了20年的观测资料后发现的。地轴章动的周期为18.6年，近似地说，就是19年。在我国古代历法中把19年称为一“章”，这便是中译名“章动”的来源。



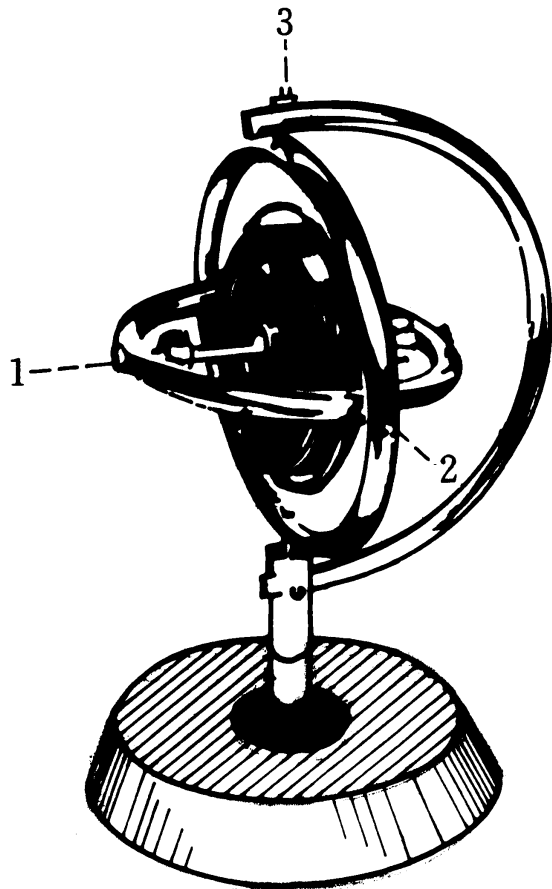
二、绕质心运动刚体的角动量守恒和陀螺仪

$$\frac{d\vec{L}}{dt} = \vec{M}$$

表明，在无外力矩的情况下，刚体的角动量保持恒定。

这时若使物体绕其自转轴转动，则该物体将以恒定的角速度绕其自转轴持续地转动，保持角动量 $L = J \omega$ 守恒。

常平架陀螺仪：一个边缘厚重的轴对称物体(称为转子)可绕其对称轴转动，转轴装在一常平架上。



转子、内环和外环的三个转轴两两正交，其交点与转子的质心重合。这样，转子既不受重力矩的作用，又能在空间任意取向，因此又称为三自由度陀螺。若不考虑轴承的摩擦和空气阻力，则由于对质心来说外力矩等于零，转子的角动量守恒。一旦转子绕其对称轴高速转动起来，不管如何移动或转动陀螺仪，回转轴将总是指向空间某一确定的方向。

在外力矩的作用下，转子的自转角速度越大，所产生的进动角速度就越小。因此，高速转动的三自由度陀螺，即使受到了有限的冲击力矩的作用，转轴也只会短时间内发生微小的偏转而进行微幅的高频章动。所以，高速自转的陀螺具有极大的反抗外力矩的作用，以力图保持其转轴在空间的方向不变。

这一特性使其广泛应用于航海、航空、导弹和火箭等系统的定向、导航和自动驾驶等，它们的转子转速高达每分钟数万转。若高速转动的转子稍不对称，就会对各个支撑轴承产生巨大的作用力而使其损坏，因此在设计和制造转子时的精度要求极高。

总结

定轴转动 角速度和线速度: $v = \omega R$

角加速度和线加速度:

$$\text{切向 } a_t = \alpha R \quad \text{法向 } a_n = \omega^2 R$$

转动角加速度和力矩(对轴): $M = J \alpha$

力矩和角动量沿轴分量: $\Delta L = L_2 - L_1 = \int_{t_1}^{t_2} M dt$

力矩做功: $W = \int_{\theta_1}^{\theta_2} M d\theta$

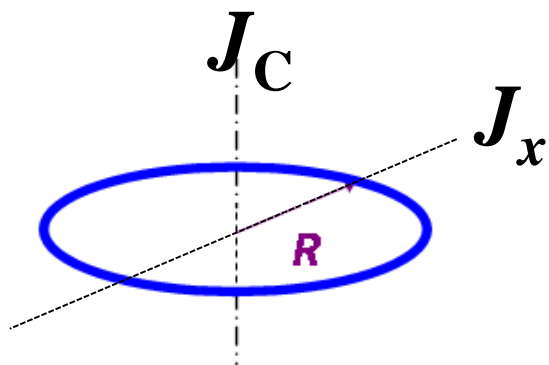
定轴转动动能: $E_k = \frac{1}{2} J \omega^2$

对z轴的转动惯量: $J_z = \sum_i \Delta m_i r_i^2$

转动惯量的平行轴定理: $J_d = J_C + md^2$

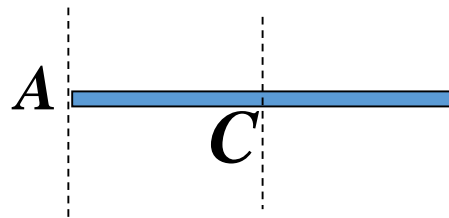
对平行xy平面的薄板垂直轴定理: $J_z = J_x + J_y$

常见刚体的转动惯量:



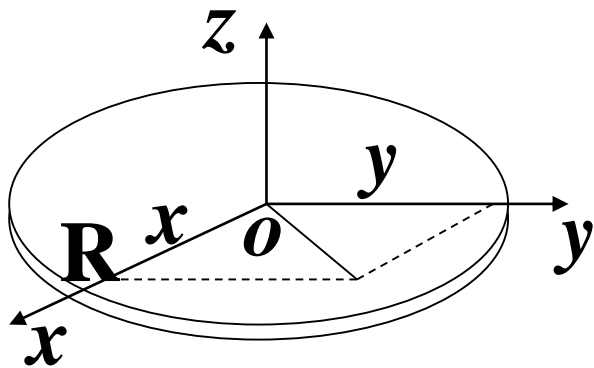
$$J_C = mR^2$$

$$J_x = \frac{1}{2}mR^2$$



$$J_C = \frac{1}{12}ml^2$$

$$J_A = \frac{1}{3}ml^2$$



$$J_C = \frac{1}{2}mR^2$$

$$J_x = \frac{1}{4}mR^2$$

刚体的平面平行运动

刚体的平面平行运动

随质心的平动

$$\vec{F} = \frac{d\vec{P}}{dt} = m \frac{d\vec{v}_c}{dt}$$

绕过质心的轴的转动
(轴垂直运动平面)

$$M_{\text{外}C} = \frac{dL_C}{dt}$$

知道了质心的运动和绕过质心轴的转动，
整个刚体的运动就全部确定了。



第五章结束